

网络出版时间:2012-12-21 17:30  
网络出版地址:<http://www.cnki.net/kcms/detail/61.1390.S.20121221.1730.023.html>

# 紫外光助类 Fenton 氧化法催化 1,2-二氟-1,1,2,2-四氯乙烷脱氟反应的研究

邱贞龙<sup>1a</sup>, 李立<sup>2</sup>, 丁利群<sup>2</sup>, 孟昭福<sup>1b</sup>, 闫晓艺<sup>1a</sup>, 孟祥至<sup>1a</sup>, 赵君楠<sup>1a</sup>

(1 西北农林科技大学 a 理学院, b 资源环境学院, 陕西 杨凌 712100; 2 陕西延长石油集团氟硅化工有限公司, 陕西 西安 710075)

**[摘要]** 【目的】针对 1,2-二氟-1,1,2,2-四氯乙烷(F112)具有高能量碳氟键, 很难被光解、水解及微生物降解的特点, 研究紫外光条件下类 Fenton 氧化法催化 F112 脱氟的最佳条件, 旨在为含氟有机物的降解提供参考。【方法】在紫外线高压汞灯的作用下, 以类 Fenton 氧化法中的  $\text{Fe}^{3+}/\text{H}_2\text{O}_2$  为催化剂, 研究溶液初始 pH、 $\text{Fe}^{3+}$  投加量、 $\text{H}_2\text{O}_2$  投加量、反应温度、紫外光源与溶液距离对 F112 脱氟率的影响。【结果】在溶液初始 pH=1、 $\text{Fe}^{3+}$  投加量为 7.5 mmol/L、 $\text{H}_2\text{O}_2$  投加量为 500 mmol/L、反应温度 40 ℃、紫外光源与液面距离为 12 cm 的条件下, F112 脱氟率均最大, 脱氟效果均最佳。【结论】得到了紫外光条件下类 Fenton 氧化法催化 F112 脱氟的最佳条件, 为含氟有机物的降解提供了参考。

**[关键词]** 紫外光; 类 Fenton 氧化法;  $\text{Fe}^{3+}/\text{H}_2\text{O}_2$ ; 脱氟率; 1,2-二氟-1,1,2,2-四氯乙烷

**[中图分类号]** X78

**[文献标志码]** A

**[文章编号]** 1671-9387(2013)01-0103-06

## Defluorination reaction of 1,2-difluoro-1,1,2,2-tetrachloroethane catalyzed by UV light-assisted Fenton method

QIU Zhen-long<sup>1a</sup>, LI Li<sup>2</sup>, DING Li-qu<sup>2</sup>, MENG Zhao-fu<sup>1b</sup>,  
YAN Xiao-yi<sup>1a</sup>, MENG Xiang-zhi<sup>1a</sup>, ZHAO Jun-nan<sup>1a</sup>

(1 a College of Science, b College of Natural Resources and Environment, Northwest A&F University, Yangling,  
Shaanxi 712100, China; 2 Fluorine & Silicon Chemicals Co. Ltd, Shaanxi Yanchang Petroleum Group, Xi'an, Shaanxi 710075, China)

**Abstract:** 【Objective】As the high-energy carbon-fluorine bond in 1,2-difluoro-1,1,2,2-tetrachloroethane (F112) is extremely difficult be degraded by photolysis, hydrolysis, or biodegradation, this study under UV light Fenton oxidation catalysis aimed to attain the best F112 defluorination conditions. 【Method】In this paper, defluorination of F112 was conducted using  $\text{Fe}^{3+}/\text{H}_2\text{O}_2$  of Fenton oxidation as catalyst with the presence of ultraviolet high-pressure mercury lamp. The effects of initial pH, amount of  $\text{Fe}^{3+}$ ,  $\text{H}_2\text{O}_2$  added, reaction temperature, distance from the UV light sources to F112 defluorination rates were studied. 【Result】Results shows that best F112 defluorination rate was obtained with initial pH=1,  $\text{Fe}^{3+}$  added 7.5 mmol/L,  $\text{H}_2\text{O}_2$  added 500 mmol/L, temperature=40 ℃, and the distance of reaction surface to light source =12 cm. 【Conclusion】The experiment obtained the best conditions under UV light Fenton oxidation catalysis for F112 photocatalytic defluorination.

**Key words:** UV light; Fenton method;  $\text{Fe}^{3+}/\text{H}_2\text{O}_2$ ; defluorination rate; 1,2-difluoro-1,1,2,2-tetrachloroethane

〔收稿日期〕 2012-05-14

〔基金项目〕 陕西杨凌现代农业研究项目; 陕西延长石油(集团)有限责任公司科研攻关项目(ycsy2011ky-B-52)

〔作者简介〕 邱贞龙(1987—), 男, 山东莱州人, 在读硕士, 主要从事有机氟废水降解研究。E-mail: qzlxn2008@126.com

〔通信作者〕 孟昭福(1968—), 男, 辽宁盖州人, 博士, 教授, 博士生导师, 主要从事环境污染及修复研究。E-mail: zfmeng1996@263.net

近年来,随着氟化学工业的发展,有机氟被广泛应用于催化剂、润滑剂、杀虫剂、表面活性剂及合成药物、树脂、氟橡胶的中间体等领域,与之伴随的生产过程中产生的“三废”被大量排放。有机氟化合物具有化学惰性及良好的耐性,其中氟原子本身具有半径小( $1.47\text{ \AA}$ )、电负性强(4.0)<sup>[1]</sup>、碳氟键能大等特性,以致强酸、强碱、高温等外界条件都很难破坏或降解有机氟化合物,因此有机氟化合物对环境具有累积性和持久性的影响。据报道,许多有机氟严重影响人体健康,主要表现为抑制酶活性、破坏细胞膜结构、影响能量传递等,从而引起癌症等重大疾病发生<sup>[2]</sup>。故研究有机氟化合物的脱氟降解技术具有重要意义。

目前,关于有机氟化合物降解的研究已有报道。有机氟主要分为挥发性和不挥发性 2 种。关于挥发性有机氟降解的研究主要针对氟利昂,近年来的研究发现,利用催化分解法,可以将氟利昂催化生成  $\text{HCl}$ 、 $\text{HF}$  和  $\text{CO}_2$ ,该方法具有分解温度低、热力学易反应、无二噁英生成等优点<sup>[3]</sup>;此外有研究还发现,可以利用燃烧法对挥发性有机氟进行降解,反应条件易控制、机理简单,但破坏率高;邹金宝等<sup>[4]</sup>将氟利昂、液化石油气、水蒸气和空气混合燃烧,得到产物  $\text{HCl}$ 、 $\text{HF}$  和  $\text{CO}_2$  等,以碱性溶液吸收其分解产物,可以对氟利昂进行初步处理。不挥发性有机氟降解主要分为部分氟代有机物和全氟类化合物降解 2 种。夏明芳等<sup>[5]</sup>以改性二氧化钛( $\text{TiO}_2$ )、丙烯酸改性有机硅树脂、聚氨酯分别作为光催化剂、粘合剂和固化剂,制作固化的光催化涂料层,并将其放置于光催化反应器中,在紫外光作用下研究了其对废水中有机氟化合物的降解作用;陈静等<sup>[6]</sup>研究发现,在 185 nm 光照下全氟羧酸发生脱羧反应,脱羧反应产生的自由基与水反应生成了少 1 个碳原子的全氟羧酸和氟离子,从而达到降解有机氟的目的。

Fenton 氧化法是研究有机物降解较为常规的方法<sup>[7-9]</sup>。但由于大量  $\text{Fe}^{2+}$  的存在,该方法中  $\text{H}_2\text{O}_2$  利用率较低,且有机物降解不完全。为了克服 Fenton 氧化法的不足,人们尝试以  $\text{Fe}^{3+}$  代替  $\text{Fe}^{2+}$ ,发现  $\text{Fe}^{3+}$  也可以催化分解  $\text{H}_2\text{O}_2$ ,产生羟基自由基<sup>[10]</sup>,此方法称为类 Fenton 氧化法。在类 Fenton 氧化法中,用  $\text{Fe}^{3+}/\text{H}_2\text{O}_2$  处理含酚<sup>[11]</sup>、氯酚<sup>[12]</sup>或活性染料的废水<sup>[13]</sup>都取得了较好的效果。目前,关于类 Fenton 氧化法降解有机氟化合物的研究鲜有报道。

本试验以 1,2-二氟-1,1,2,2-四氯乙烷(F112)

为目标物,采用类 Fenton 氧化法,在紫外光的作用下,研究 F112 的最佳脱氟条件,旨在为含氟有机物的降解提供参考。

## 1 材料与方法

### 1.1 材料

含 F112 的有机物由陕西延长石油集团氟硅化工有限公司提供,体积分数 30%  $\text{H}_2\text{O}_2$ 、 $\text{Fe}(\text{NO}_3)_3 \cdot 9\text{H}_2\text{O}$ 、 $\text{H}_2\text{SO}_4$ 、 $\text{NaOH}$ 、 $\text{C}_6\text{H}_5\text{Na}_3\text{O}_7 \cdot 2\text{H}_2\text{O}$ 、 $\text{NaNO}_3$  等试剂均为国产分析纯。

主要仪器包括:ULTRA-PolarisQ 气质联用仪(美国热电公司)、PHS-3D 实验室 pH 计(上海三信仪表厂)、MP523-04 氟离子浓度计(上海三信仪表厂)、DF-101S 集热式恒温加热磁力搅拌器(郑州长城科工贸有限公司)和 GGZ-直管型紫外线高压汞灯(上海亚明飞亚照明电器有限公司)。

### 1.2 气质联用仪的条件

(1)色谱条件。色谱柱:TR-1-MS 型毛细色谱柱;载气:高纯氮气;进样口温度:250 °C;柱温:40 °C;升温程序:0 min → 2 °C/min → 80 °C → 20 °C/min → 230 °C;5 min。

(2)质谱条件。离子化方式:电子轰击电离(EI);质谱扫描范围:30 ~ 550 amu;离子源温度:200 °C。

### 1.3 试验方法

采用单因素试验,在紫外光辐射条件下,选取溶液初始 pH 值、 $\text{Fe}^{3+}$  投加量、 $\text{H}_2\text{O}_2$  投加量、反应温度以及紫外光源与溶液的距离(以下简称光源距离)5 个因素作为变量,研究不同反应条件下, F112 脱氟率的变化,探讨类 Fenton 氧化法催化 F112 脱氟的最佳条件。

**1.3.1 溶液初始 pH 对 F112 脱氟率的影响**  $\text{Fe}^{3+}/\text{H}_2\text{O}_2$  试剂须在酸性条件下才能产生大量的羟基自由基,从而进行自由基反应,因此控制溶液的初始 pH 非常重要。固定溶液中  $\text{Fe}^{3+}$  的浓度为 7.5 mmol/L, $\text{H}_2\text{O}_2$  的浓度为 500 mmol/L,反应温度为 30 °C,光源距离为 12 cm,反应时间为 120 min,调节溶液初始 pH 值,使其分别为 1,2,3,4,5,6,在紫外线高压汞灯照射下,进行脱氟反应,测定溶液中的氟离子质量浓度,计算脱氟率。

**1.3.2  $\text{Fe}^{3+}$  投加量对 F112 脱氟率的影响** 调节溶液初始 pH 为 1,固定溶液中  $\text{H}_2\text{O}_2$  的浓度为 500 mmol/L,反应温度为 30 °C,光源距离为 12 cm,反应时间为 120 min, $\text{Fe}^{3+}$  的投加量分别设为 1,3,5,

7.5 和 9 mmol/L, 在紫外线高压汞灯照射下, 进行脱氟反应, 测定溶液中的氟离子质量浓度, 计算脱氟率。

**1.3.3 H<sub>2</sub>O<sub>2</sub> 投加量对 F112 脱氟率的影响** 调节溶液初始 pH 为 1, 固定溶液中 Fe<sup>3+</sup> 投加量为 7.5 mmol/L, 反应温度为 30 ℃, 光源距离为 12 cm, 反应时间为 120 min, H<sub>2</sub>O<sub>2</sub> 的投加量分别为 200, 300, 400, 500, 600 和 700 mmol/L, 在紫外线高压汞灯照射下, 进行脱氟反应, 测定溶液中的氟离子质量浓度, 计算脱氟率。

**1.3.4 反应温度对 F112 脱氟率的影响** 调节溶液初始 pH 为 1, 固定溶液中 Fe<sup>3+</sup> 投加量为 7.5 mmol/L, H<sub>2</sub>O<sub>2</sub> 投加量为 500 mmol/L, 光源距离为 12 cm, 反应时间为 120 min, 改变反应温度, 使其分别为 25, 30, 40, 50 和 60 ℃, 在紫外线高压汞灯照射下, 进行脱氟反应, 测定溶液中的氟离子质量浓度, 计算脱氟率。

**1.3.5 光源距离对 F112 脱氟率的影响** 调节溶液初始 pH 为 1, 固定溶液中 Fe<sup>3+</sup> 投加量为 7.5

mmol/L, H<sub>2</sub>O<sub>2</sub> 投加量为 500 mmol/L, 反应温度为 30 ℃, 反应时间为 120 min, 光源距离分别为 12, 17, 22, 27 和 32 cm, 在紫外线高压汞灯照射下, 进行脱氟反应, 测定溶液中的氟离子质量浓度, 计算脱氟率。

#### 1.4 测定项目及方法

**氟离子质量浓度:** 采用 MP523-04 氟离子浓度计测定。

脱氟率的计算方法如下:

$$\eta = (m \times M_{(F112)}) / (2M_{(F)} \times \rho V) \times 100\%.$$

式中:  $\eta$  为 F112 脱氟率(%),  $m$  为反应后溶液中氟离子的质量(g),  $M_{(F112)}$  为 F112 的分子质量,  $M_{(F)}$  为氟的相对原子质量,  $\rho$  为 F112 的质量浓度(g/mL),  $V$  为 F112 的体积(mL)。本研究中 F112 的体积和质量浓度分别为 0.1 mL 和 1.644 7 g/mL。

## 2 结果与分析

### 2.1 有机物中 F112 含量的测定

采用气质联用仪测定有机物中 F112 的含量, 结果见图 1。

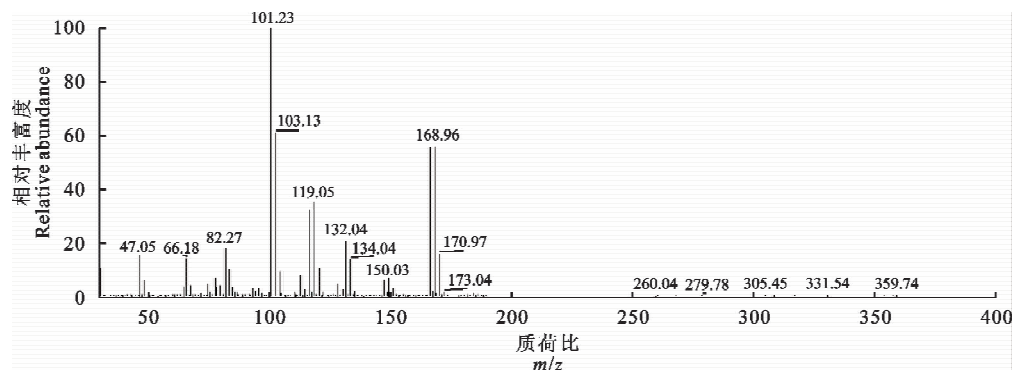


图 1 有机物中 F112 出峰时间的质谱图

Fig. 1 F112 peak time in the mass spectrum of organic

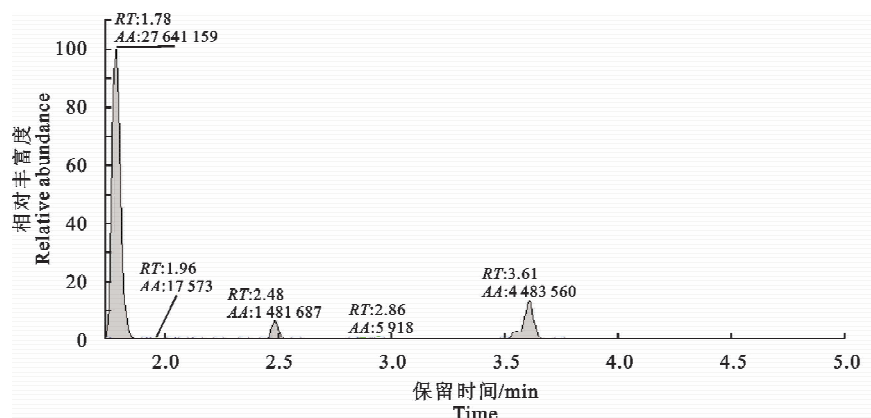


图 2 有机物中不同物质的保留时间(RT)及峰面积(AA)

Fig. 2 Time and peak area of organic matter outflow

图 1 和图 2 显示,经气质联用仪器测定,可知有机物中含有 F112, F112 的保留时间(*RT*)为 3.61 min, 峰面积(AA)为 4 483 560。通过归一化法可得有机物中 F112 的含量为 133.2 g/kg。

## 2.2 紫外光助类 Fenton 氧化法中不同条件对 F112 脱氟率的影响

**2.2.1 溶液初始 pH** 图 3 显示,在 pH=1 时, F112 脱氟率最大,当 pH 在 1~3 时,随着溶液 pH 值的增大, F112 的脱氟率急剧减小;当溶液初始 pH 为 3~6 时, F112 的脱氟率下降较缓慢, F112 脱氟率 < 5%。这主要是由于当 pH=3.4 时,  $C_{(H^+)} = 10^{-3.4} \text{ mol/L}$ , 由公式  $K_w = C_{(H^+)} \times C_{(OH^-)}$  可以得出,  $C_{(OH^-)} = 10^{-10.6} \text{ mol/L}$ , 再由公式  $K_{sp(Fe(OH)_3)} = C_{(Fe^{3+})} \times (C_{(OH^-)})^3 = 10^{-37} \text{ mol/L}$  得出,  $C_{(Fe(OH)_3)} = 10^{-5.2} \text{ mol/L}$ 。一般在分析化学中, 当离子浓度小于  $10^{-5} \text{ mol/L}$  时, 表明这种离子已经被除尽或者沉淀完全了。由此可知, 当溶液初始

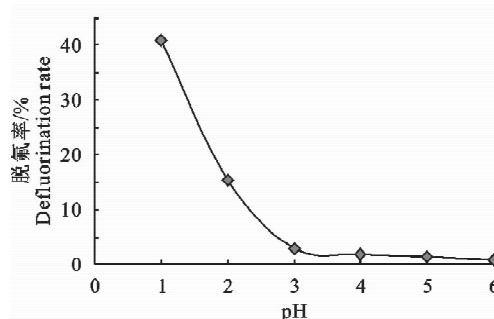
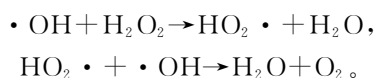


图 3 溶液初始 pH 对 F112 脱氟率的影响

Fig. 3 Effect of pH to F112 defluorination rate

**2.2.3  $H_2O_2$  投加量** 图 5 显示,当  $H_2O_2$  投加量为 200~500 mmol/L 时,随着溶液中  $H_2O_2$  投加量的增加, F112 脱氟率呈增加趋势;当  $H_2O_2$  投加量达到 500 mmol/L 时, F112 脱氟率达到最大值;之后随着  $H_2O_2$  投加量的增加, F112 脱氟率逐渐下降。这主要是因为随着溶液中  $H_2O_2$  投加量的增加, 反应体系中的羟基自由基浓度增加, 有助于 F112 氧化, 碳氟键断裂, 从而提高了脱氟率;当  $H_2O_2$  投加量高于 500 mmol/L 时, F112 脱氟率反而下降, 这可能是因为发生了如下反应<sup>[14]</sup>:



结果导致  $H_2O_2$  发生无效的分解,使溶液中的羟基自由基数量减少<sup>[15]</sup>,从而使  $H_2O_2$  氧化效率降低,脱氟率减小。由以上研究可知,溶液中  $H_2O_2$  投加量以 500 mmol/L 为宜。

pH>3 时,  $Fe^{3+}$  已经完全沉淀,溶液中  $Fe^{3+}$  的浓度急剧下降,从而影响 F112 脱氟率。以上结果表明,溶液初始 pH 以 1 为宜。

**2.2.2  $Fe^{3+}$  投加量** 图 4 显示,当  $Fe^{3+}$  投加量为 1~7.5 mmol/L 时,随着  $Fe^{3+}$  投加量的增加, F112 脱氟率也随之增大;当  $Fe^{3+}$  投加量达到 7.5 mmol/L 时,脱氟率达到最大值;之后随着  $Fe^{3+}$  投加量的增大, F112 脱氟率下降。表明溶液中  $Fe^{3+}$  投加量以 7.5 mmol/L 为宜。分析原因主要是由于当  $Fe^{3+}$  投加量较低时,在紫外光照射下,  $Fe^{3+}$  与水中含  $OH^-$  的复合离子反应产生羟基自由基及  $Fe^{2+}$ ,而  $Fe^{2+}$  与  $H_2O_2$  进一步反应也可生成羟基自由基,而且  $H_2O_2$  在紫外光照射下也能直接分解生成羟基自由基,而羟基自由基能促进碳氟键断裂,从而提高脱氟率;但是当  $Fe^{3+}$  投加量过大时,  $H_2O_2$  会迅速分解产生大量的羟基自由基,而部分羟基自由基来不及与 F112 反应,从而导致脱氟率下降。

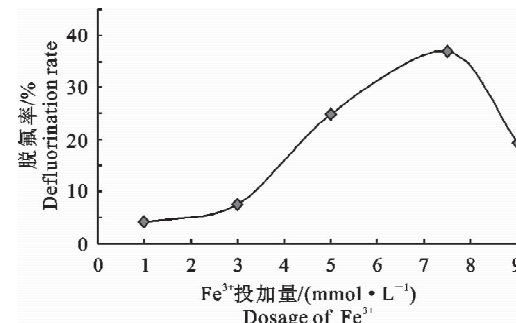


图 4  $Fe^{3+}$  投加量对 F112 脱氟率的影响

Fig. 4 Effects of  $Fe^{3+}$  dosage to F112 defluorination rate

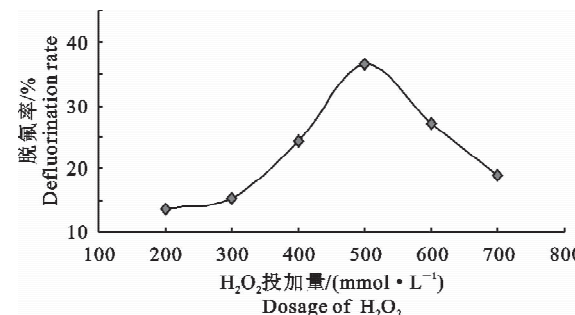


图 5  $H_2O_2$  投加量对 F112 脱氟率的影响

Fig. 5 Effect of  $H_2O_2$  dosage to F112 defluorination rate

**2.2.4 反应温度** 图 6 显示,当反应温度为 25~40 °C 时,随着反应温度的升高, F112 脱氟率逐渐升高;当反应温度为 40 °C 时,脱氟率达到最大;之后温度继续升高,脱氟率逐渐下降。这说明在一定范围内,温度升高有利于 F112 脱氟反应发生,当温度过高(>40 °C)时 F112 的脱氟反应反而受到了抑制。其

可能的原因是:温度升高有利于溶液中羟基自由基的生成,促进了F112的脱氟反应;而当反应温度过高,导致H<sub>2</sub>O<sub>2</sub>的热分解速度加快,使得H<sub>2</sub>O<sub>2</sub>发生了无效分解<sup>[16]</sup>,溶液中羟基自由基减少,从而影响F112的脱氟反应。由此可知40℃为最佳脱氟反应温度。

2.2.5 光源距离 图7显示,当光源距离为12~22 cm时,随着光源距离的增大,F112脱氟率迅速

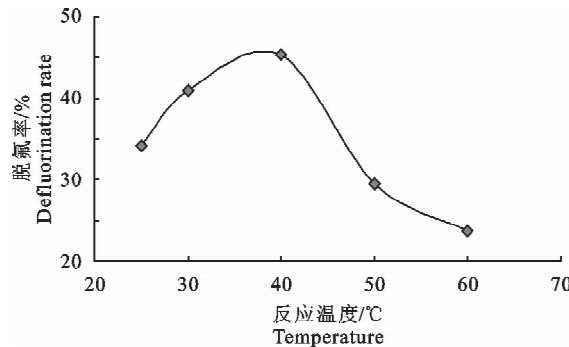
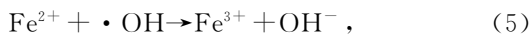
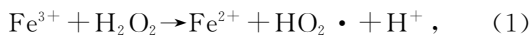


图6 反应温度对F112脱氟率的影响

Fig. 6 Effect of reacting temperature to F112 defluorination rate

### 3 讨论

紫外光催化氧化反应的机理主要是由于产生了臭氧<sup>[17]</sup>,臭氧具有较高的氧化电势(2.07 V)<sup>[18]</sup>,可以氧化分解多数有机物和无机物。紫外光作用下,Fe<sup>3+</sup>/H<sub>2</sub>O<sub>2</sub>试剂催化氧化主要是由于产生了·OH。类Fenton氧化法产生·OH的机理如下<sup>[19]</sup>:



反应(5)的速率常数k为(1.4~4.3)×10<sup>8</sup> L/(mol·s)<sup>[20]</sup>,其与反应(6)竞争反应生成的·OH,采用Fe<sup>3+</sup>/H<sub>2</sub>O<sub>2</sub>的优点是即时生成的Fe<sup>2+</sup>可与H<sub>2</sub>O<sub>2</sub>反应产生·OH,从而减少了·OH被Fe<sup>2+</sup>还原的可能性,提高了·OH的利用率。

在紫外光照射下,Fe<sup>3+</sup>/H<sub>2</sub>O<sub>2</sub>可以极大地提高有机物的降解速度,并且H<sub>2</sub>O<sub>2</sub>的利用率也可以得到提高<sup>[21]</sup>。鉴于类Fenton氧化法中的Fe<sup>3+</sup>、H<sub>2</sub>O<sub>2</sub>在反应过程中能生成大量·OH,而·OH同样具有

下降;当光源距离大于22 cm时,F112脱氟率<2%,几乎不发生脱氟反应。说明随着光源与溶液距离的增大,紫外光强度减弱,F112脱氟反应受到了抑制。主要是因为只有在紫外光照射条件下,F112才能和催化剂Fe<sup>3+</sup>发生脱氟反应,光源与溶液距离越近,光强度越大,越有利于F112脱氟反应进行。在本试验条件下,紫外光源与溶液距离为12 cm时,最有利于F112脱氟反应进行。

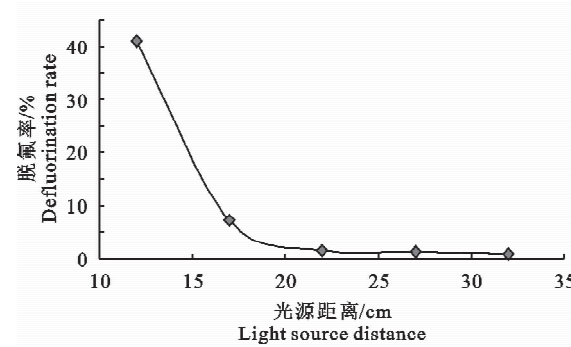


图7 光源距离对F112脱氟率的影响

Fig. 7 Effect of the light source distance to F112 defluorination rate

较高的氧化电势(2.80 V)<sup>[18]</sup>,可以氧化分解大多数有机物和无机物,故在紫外光照射下,F112的脱氟率较高。

本研究发现,在单一条件下(仅紫外光照射或者仅Fe<sup>3+</sup>/H<sub>2</sub>O<sub>2</sub>试剂催化氧化),F112未发生脱氟反应,主要是因为无论是臭氧的氧化电势(2.07 V),还是·OH的氧化电势(2.80 V),都小于碳氟键断裂所需要的最小氧化电势(2.90 V),所以在单一条件下F112未发生脱氟反应。

本研究结果表明,只有将紫外光与Fe<sup>3+</sup>/H<sub>2</sub>O<sub>2</sub>试剂相结合,并同时作用于F112脱氟反应时,才可以使碳氟键断裂,发生脱氟反应。从而可以推断出,在紫外光与Fe<sup>3+</sup>/H<sub>2</sub>O<sub>2</sub>试剂共同作用时,产生的氧化电势至少大于2.90 V,从而使碳氟键断裂,F112发生脱氟反应。这为今后其他含氟有机物的降解研究提供了新思路。

### 4 小结

本试验探讨了紫外光条件下类Fenton氧化法中溶液初始pH、Fe<sup>3+</sup>投加量、H<sub>2</sub>O<sub>2</sub>投加量、反应温度和光源距离对F112脱氟效果的影响,结果表明,当溶液初始pH=1、Fe<sup>3+</sup>投加量为7.5 mmol/L、H<sub>2</sub>O<sub>2</sub>投加量为500 mmol/L、反应温度40℃、光源距离溶液12 cm时,F112的脱氟率均较高。

## [参考文献]

- [1] Pauling L. The nature of the chemical bond [M]. 3rd ed. New York: Cornell University Press, 1960; 45-60.
- [2] Deocampo N D, Upham B L. Fundam appl toxicol [J]. 1996, 30: 1065-1067.
- [3] 马臻,陶泳,高滋.氟利昂水解的催化体系[J].化学世界,2001(3):157-160.  
Ma Z, Tao Y, Gao Z. The catalyst system of the CFCs' hydrolyzing [J]. Chemistry World, 2001(3): 157-160. (in Chinese)
- [4] 邹金宝,宁平,高红,等.氟利昂的燃烧水解法处理研究[J].昆明理工大学学报:理工版,2009,34(1):92-94.  
Zou J B, Ning P, Gao H, et al. Study on combustion hydrolyzing technology in treating CFCs [J]. Journal of Kunming University of Science and Technology: Science and Technology, 2009, 34(1): 92-94. (in Chinese)
- [5] 夏明芳,张利民,王志良.光催化降解废水中有机氟化物的方法:中国,1433972[P].2003-08-06 [2012-05-10].  
Xia M F, Zhang L M, Wang Z L. The method of organic fluoride photocatalytic degradation in the wastewater: China, 1433972 [P]. 2003-08-06 [2012-05-10]. (in Chinese)
- [6] 陈静,张彭义,刘剑.全氟羧酸185 nm真空紫外光下的降解研究[J].环境科学,2007,28(4):772-776.  
Chen J, Zhang P Y, Liu J. Photo degradation of perfluorinated carboxylic acids by 185 nm VUV light [J]. Environmental Science, 2007, 28(4): 772-776. (in Chinese)
- [7] Martinez N S S, Fernandez J F, Segura X F, et al. Pre-oxidation of an extremely ponuted industrial wastewater by the Fenton's reagent [J]. Journal of Hazardous Materials, 2003, 101: 315-322.
- [8] Galvio Sara Amélia O, Mota André L N, Silva Douglas N, et al. Application of the photo-Fenton process to the treatment of wastewaters contaminated with diesel [J]. Science of the Total Environment, 2006, 36(7): 42-49.
- [9] Kavitha, Palanivelu K. Degradation of nitrophenols by Fenton and photo-Fenton processes [J]. Journal of Photochemistry and Photobiology A: Chemistry, 2005(170):83-95.
- [10] Yim B, Yoo Y, Maeda Y. Sonolysis of alkylphenols in aqueous solution with Fe(II) and Fe(III) [J]. Chemosphere, 2003, 50(8): 1015-1023.
- [11] 张荣坤,潘建明.  $\text{Fe}^{3+}$ 催化  $\text{H}_2\text{O}_2$  氧化处理含酚废水 [J]. 厦门大学学报: 自然科学版, 1992, 31(1): 61-64.  
Zhang R K, Pan J M. The treatment of phenol-containing waste-water using the oxidizing-gent hydrogen-peroxide catalysis by ferric ions [J]. Journal of Xiamen University: Natural Science, 1992, 31(1): 61-64. (in Chinese)
- [12] 鲁军,刘兆骏,谭福先,等.过氧化氢催化氧化处理含氯酚废水的研究 [J].华东理工大学学报, 1998, 24(1): 31-36.  
Lu J, Liu Z J, Tan F X, et al. Treatment of chlorophenol-containing wasterwater by catalyzed oxidation with hydrogen peroxide [J]. Journal of East China University of Science and Technology, 1998, 24(1): 31-36. (in Chinese)
- [13] 王松滨,黄君礼,张杰.  $\text{H}_2\text{O}_2/\text{Fe}^{2+}$  和  $\text{H}_2\text{O}_2/\text{Fe}^{3+}$  系统氧化活性染料废水的研究 [J]. 哈尔滨商业大学学报: 自然科学版, 2005, 21(6): 697-701.  
Wang S B, Huang J L, Zhang J. Oxidation of reactive dye waste water with  $\text{H}_2\text{O}_2/\text{Fe}^{2+}$  and  $\text{H}_2\text{O}_2/\text{Fe}^{3+}$  [J]. Journal of Harbin University of Commerce: Natural Science Edition, 2005, 21(6): 697-701. (in Chinese)
- [14] 黄卫红,杨丹,阮介兵,等.光催化与Fenton试剂对硝基苯酚降解的研究 [J].环境科学与技术,2010,33(12):71-75.  
Huang W H, Yang D, Ruan J B, et al. Photocatalysis coupled with Fenton reagent for degrading p-Nitrophenol [J]. Environmental Science & Technology, 2010, 33(12): 71-75. (in Chinese)
- [15] Schlicker O, Ebert M, Fruth M, et al. Degradation of TCE with iron: The role of competing chromate and nitrate reduction [J]. Ground Water, 2000(38): 403-409.
- [16] Anade L, Jose I L, Fernando V, et al. Kinetic study and hydrogen peroxide consumption of phenolic compounds oxidation by Fenton's reagent [J]. Korean Journal of Chemical Engineering, 2009, 26(1): 48-56.
- [17] 钟菲,杨靖,蔡周祥.紫外光催化氧化在污水处理厂除臭工程中的应用 [J].环境工程,2011,29(6):79-81.  
Zhong F, Yang J, Cai Z X. Application of ultravioler catalytic oxidation for odor treatment in wastewater treatment plant [J]. Environmental Engineering, 2011, 29(6): 79-81. (in Chinese)
- [18] Legrini O, Oliveros E, Braun A M. Photochemical process for water treatment [J]. Chemrev, 1993, 93: 671-698.
- [19] Tuba T E, Mirat D G. Oxidation of diethyleneglycol with ozone and modified Fenton processes [J]. Chemosphere, 2002, 47: 293-301.
- [20] Taha M E, Moustafa M E, Hassan M H, et al. Homogeneous degradation of 1, 2, 9, 10-tetrachlorodecane in aqueous solutions using hydrogen peroxide, iron and UV light [J]. Chemosphere, 2002, 47: 343-348.
- [21] 王春敏,张捷.类Fenton试剂及其在废水处理中的应用 [J].山西化工,2006,26(2):40-43.  
Wang C M, Zhang J. Fenton-like reagents and their application in wastewater treatment [J]. Shanxi Chemical Industry, 2006, 26(2): 40-43. (in Chinese)